

การวิเคราะห์ความไม่แน่นอนในแบบจำลองพลวัตและการออกแบบตัวควบคุมคงทันสำหรับ  
การควบคุมกำลังการผลิตและความถี่

นางสาวจีรนุช จึงอุดมพร

# ศูนย์วิทยทรัพยากร จุฬาลงกรณ์มหาวิทยาลัย

วิทยานิพนธ์นี้เป็นส่วนหนึ่งของการศึกษาตามหลักสูตรปริญญาวิศวกรรมศาสตรมหาบัณฑิต  
สาขาวิชาวิศวกรรมไฟฟ้า ภาควิชาวิศวกรรมไฟฟ้า  
คณะวิศวกรรมศาสตร์ จุฬาลงกรณ์มหาวิทยาลัย

ปีการศึกษา 2547

ISBN 974-17-6381-6

ลิขสิทธิ์ของจุฬาลงกรณ์มหาวิทยาลัย

๑๒๙๔๓๒๔๒

ANALYSIS OF UNCERTAINTIES IN DYNAMICAL MODELS AND ROBUST CONTROLLER DESIGN  
FOR LOAD FREQUENCY CONTROL

Miss Jeeranuch Juengudomporn

ศูนย์วิทยทรัพยากร  
จุฬาลงกรณ์มหาวิทยาลัย

A Thesis Submitted in Partial Fulfillment of the Requirements  
for the Degree of Master of Engineering in Electrical Engineering

Department of Electrical Engineering

Faculty of Engineering

Chulalongkorn University

Academic Year 2004

ISBN 974-17-6381-6

หัวข้อวิทยานิพนธ์ การวิเคราะห์ความไม่แน่นอนในแบบจำลองผลวัดและการออกแบบตัวควบคุม  
คงทนสำหรับการควบคุมกำลังการผลิตและความถี่  
โดย นางสาวจีรนุช จึงอุดมพร  
สาขาวิชา วิศวกรรมไฟฟ้า  
อาจารย์ที่ปรึกษา รองศาสตราจารย์ ดร.เดวิด บรรเจิดพงศ์ชัย

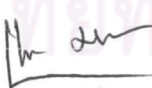
คณะกรรมการฯ จุฬาลงกรณ์มหาวิทยาลัยอนุมัติให้นับวิทยานิพนธ์ฉบับนี้เป็นส่วนหนึ่ง  
ของการศึกษาตามหลักสูตรปริญญามหาบัณฑิต

..... คณะกรรมการฯ จุฬาลงกรณ์มหาวิทยาลัย  
(ศาสตราจารย์ ดร.ดิเรก ลาวัณย์ศิริ)

คณะกรรมการสอบวิทยานิพนธ์

..... นาย ฉลอง กุญชร ..... ประธานกรรมการ  
(ผู้ช่วยศาสตราจารย์ ดร.มานพ วงศ์สายสุวรรณ)

..... โศภ ชลิตา งามพัน ..... อาจารย์ที่ปรึกษา  
(รองศาสตราจารย์ ดร.เดวิด บรรเจิดพงศ์ชัย)

.....  ..... กรรมการ  
(อาจารย์ ดร.แนนนุช หุนเจริญ)

จีรนุช จึงอุดมพร: การวิเคราะห์ความไม่แน่นอนในแบบจำลองพลวัตและการออกแบบตัวควบคุมคงทันสำหรับการควบคุมกำลังการผลิตและความถี่ (ANALYSIS OF UNCERTAINTIES IN DYNAMICAL MODELS AND ROBUST CONTROLLER DESIGN FOR LOAD FREQUENCY CONTROL), อาจารย์ที่ปรึกษา: รองศาสตราจารย์ ดร. เดวิด บรรเจิดพงศ์ชัย, 78 หน้า, ISBN 974-17-6381-6

การควบคุมกำลังการผลิตและความถี่มีวัตถุประสงค์เพื่อให้การผลิตไฟฟ้าเพียงพอต่อความต้องการของผู้ใช้และควบคุมความถี่ของแรงดันไฟฟ้าให้อยู่ในช่วงมาตรฐาน อย่างไรก็ตามปริมาณความต้องการใช้กำลังไฟฟ้ามีลักษณะเปลี่ยนแปลงตลอดเวลา เป็นสาเหตุให้จุดทำงานของกระบวนการผลิตไฟฟ้าแปรเปลี่ยนในช่วงกว้าง ทำให้สมรรถนะการผลิตไฟฟ้าเหลลงหรือบางครั้งอาจทำให้ขาดเสียริบภาพได้ วิทยานิพนธ์นี้นำเสนอการวิเคราะห์ผลกระทบของการเปลี่ยนแปลงปริมาณความต้องการหรือจุดทำงานต่อแบบจำลองพลวัตและอธิบายความแตกต่างของพลวัตด้วยความไม่แน่นอนเชิงพารามิเตอร์ค่าจริงที่มีขอบเขตพบว่าแบบจำลองปริภูมิสถานะมีพารามิเตอร์ที่ไม่แน่นอนสองตัว ได้แก่ ค่าคงตัวทางเวลาของเทอร์บีน และค่าสัมประสิทธิ์ซึ่งโครงสร้างทอร์ก หลังจากนั้นเป็นการนำเสนอการสังเคราะห์ตัวควบคุมคงทัน  $H_2$  สำหรับระบบการควบคุมกำลังการผลิตและความถี่ เมื่อพารามิเตอร์บางตัวแปรเปลี่ยน แนวทางการออกแบบตัวควบคุมเป็นการประยุกต์ใช้วิธีการสังเคราะห์ตัวควบคุมคงทันสำหรับระบบลูเรซึ่งพิจารณาความไม่แน่นอนเป็นพังก์ชันไม่เชิงเส้นที่สอดคล้องกับเงื่อนไขเซกเตอร์ ตัวอย่างเชิงเลขแสดงให้เห็นว่าการวิเคราะห์ความไม่แน่นอนที่เกิดขึ้นในแบบจำลองพลวัตเป็นประโยชน์ต่อการออกแบบตัวควบคุมให้ทนทานต่อการเปลี่ยนแปลงปริมาณความต้องการใช้กำลังไฟฟ้า โดยเฉพาะอย่างยิ่งตัวควบคุมที่ได้สามารถประกันเสียริบภาพและสมรรถนะของระบบการควบคุมกำลังการผลิตและความถี่ภายใต้การไม่แน่นอนที่มีขอบเขต

# ศูนย์วิทยบรังษยการ จุฬาลงกรณ์มหาวิทยาลัย

ภาควิชา ..... วิศวกรรมไฟฟ้า .....  
สาขาวิชา ..... วิศวกรรมไฟฟ้า .....  
ปีการศึกษา ..... 2547 .....

ลายมือชื่อนิสิต ..... ลีรัชดา จังอุดมวงศ์ .....  
ลายมือชื่ออาจารย์ที่ปรึกษา ..... ดร. นร. เกตุมานะ

##4570257021: MAJOR ELECTRICAL ENGINEERING

KEY WORD : LOAD FREQUENCY CONTROL, UNCERTAINTY, DYNAMICAL MODEL, ROBUST CONTROLLER

JEERANUCH JUENGUDOMPORN: ANALYSIS OF UNCERTAINTIES IN DYNAMICAL MODELS AND ROBUST CONTROLLER DESIGN FOR LOAD FREQUENCY CONTROL  
THESIS ADVISOR: DAVID BANJERDPONGCHAI, Ph.D., 78 pp., ISBN 974-17-6381-6

The load frequency control (LFC) aims to sufficiently generate electricity to meet users' demand and to maintain frequency in a standard range. However, the characteristic of power consumption is changing over time which leads to a large variation of working operation in power generation processes. This variation deteriorates the performance of power generation and sometimes causes instability. This thesis presents impact analysis of changing power consumption or working operation to dynamic models as well as describes the dynamic difference by means of bounded real parametric uncertainties. The study indicates that the state-space models consist of two uncertain parameters, namely, turbine time constant and synchronizing torque coefficient. In addition to the uncertainty analysis, the thesis presents robust  $\mathcal{H}_2$  controller synthesis for LFC system subject real parametric uncertainty. The design approach employs the robust synthesis technique previously developed for Lur'e systems which consider each uncertainty as a nonlinear function satisfying sector condition. Numerical examples demonstrate an application of uncertainty analysis to the robust control design subject to changes in electrical power consumption. In particular, the designed controllers can guarantee stability and performance of LFC system under bounded uncertainty.

ศูนย์วิทยทรัพยากร  
จุฬาลงกรณ์มหาวิทยาลัย

**Department** ..... Electrical Engineering  
**Field of study** ..... Electrical Engineering  
**Academic year** ..... 2004

**Student's signature** ..... Jeeranuch Juengudomporn  
**Advisor's signature** ..... David Banjerdpongchai

## กิตติกรรมประกาศ

วิทยานิพนธ์ฉบับนี้สำเร็จลุล่วงไปได้ ด้วยความช่วยเหลือของ รองศาสตราจารย์ ดร. เดวิด บรรเจิดพงศ์ชัย อาจารย์ที่ปรึกษาวิทยานิพนธ์ ผู้ซึ่งให้โอกาสผู้วิจัยเข้ามาเป็นนิสิตในที่ปรึกษา ให้กำลังใจ และให้อภัยในสิ่งที่ได้ทำผิดพลาดไป ให้คำแนะนำในการทำงานและการเรียนด้วยเจตนาดีเสมอมา จึงครับขอขอบพระคุณไว้ ณ ที่นี่

ขอขอบพระคุณผู้ช่วยศาสตราจารย์ ดร. มนัส วงศ์สายสุวรรณประธานกรรมการสอบวิทยานิพนธ์ และอาจารย์ ดร. แนบบุญ หุนเจริญ กรรมการสอบวิทยานิพนธ์ที่ได้สละเวลาตรวจสอบและให้คำแนะนำเพื่อให้วิทยานิพนธ์ฉบับนี้สมบูรณ์ยิ่งขึ้น และขอขอบพระคุณคณาจารย์ทุกท่านในสาขาวิชาระบบควบคุม ภาควิชาศิลปกรรม ไฟฟ้า ที่ได้ประสิทธิ์ประสาทความรู้ที่มีอยู่ในวิชาทางระบบควบคุม อันเป็นพื้นฐานในการศึกษาและทำวิทยานิพนธ์นี้

ขอกราบขอบพระคุณคุณพ่อบรรหาร จึงอุดมพร และคุณแม่วารุณี พฤกษ์ราษฎร์ สำหรับความรักความห่วงใย กำลังใจ การดูแลเอาใจใส่ที่ดีเสมอมา

ขอขอบคุณความช่วยเหลือและมิตรภาพจาก ฐานะนา นามประดิษฐ์ และ สังวาล บกสุวรรณ ขอบคุณความช่วยเหลือเป็นอย่างดีจาก วัฒน์ คล้ายสุวรรณ และจิตโภมุก สงเคริ ขอบคุณกำลังใจในการเรียนจาก พีมานะชัย คำเย้ม และผลสิทธิ์ สันธนพิพัฒน์กุล ขอบคุณความเป็นเพื่อนและกำลังใจจาก Addy Wayhudie, กิตติชัย รุจิราพันธ์, อนันต์ พันธ์พิพัฒน์เพบูลย์ และ อุบลวรรณ ตันติñุชวงศ์ ที่ทำให้การทำงานวิทยานิพนธ์เป็นช่วงเวลาที่ดี ขอบคุณกำลังใจและมิตรภาพที่ดีจาก อดุลย์ บำรุงวงศ์, อัศนัย ศรีสุวนันท์ และ กรณวัฒน์ สมสังข์ ขอบคุณ พี่กุต ศรีศิลป์กุล และ วุฒินันท์ หูปห้อม สำหรับน้ำใจและความช่วยเหลือตลอดมา ขอบคุณ เขตต์ พิชุรามานิต, กิตติพงศ์ เรียมรัตน์วงศ์, Pupus Adiwaluyo, Tu Auh Do และ Lychek Keo สำหรับมิตรภาพในห้องวิจัย และ ขอบคุณเพื่อนที่ดีที่สุดในชีวิต ชาญชัย เดชะวัชราภัยกุล สำหรับความเข้าใจ กำลังใจและความเชื่อมั่นที่มีให้ตลอดมา

ขอขอบคุณบัณฑิตวิทยาลัยสำหรับเงินอุดหนุนงานวิจัยส่วนหนึ่ง ซึ่งทำให้การทำงานวิจัยเป็นไปด้วยดี สุดท้ายนี้ ขอขอบคุณห้องปฏิบัติการวิจัยระบบควบคุม ภาควิชาศิลปกรรม ไฟฟ้าและวิศวกรรมศาสตร์ จุฬาลงกรณ์มหาวิทยาลัย สำหรับทรัพยากรต่างๆ ในการศึกษา ค้นคว้าและวิจัย

## สารบัญ

บทคัดย่อภาษาไทย .....	๔
บทคัดย่อภาษาอังกฤษ .....	๕
กิตติกรรมประกาศ .....	๙
สารบัญ .....	๙
สารบัญตาราง .....	๙
สารบัญภาพ .....	๙
คำอธิบายสัญลักษณ์ .....	๙
<b>1 บทนำ .....</b>	<b>1</b>
1.1 ความเป็นมา .....	1
1.2 งานวิจัยที่ผ่านมา .....	5
1.2.1 การควบคุมการผลิตและความถี่ .....	5
1.2.2 ระบบลูเร .....	5
1.3 วัตถุประสงค์ .....	6
1.4 ขอบเขตของวิทยานิพนธ์ .....	6
1.5 ขั้นตอนในการดำเนินงาน .....	6
1.6 ประโยชน์ที่คาดว่าจะได้รับ .....	7
1.7 โครงสร้างของวิทยานิพนธ์ .....	7
<b>2 คณิตศาสตร์พื้นฐาน .....</b>	<b>8</b>
2.1 พีชคณิตเชิงเส้น .....	8
2.1.1 พีชคณิตพื้นฐาน .....	8
2.1.2 การแยกออยค่าเอกฐาน .....	9
2.2 อสมการเมทริกซ์เชิงเส้น .....	11
2.3 อสมการเมทริกซ์เชิงเส้นชุด .....	12
2.4 นอร์ม $H_2$ .....	13
2.5 บทตั้งสำหรับอสมการเมทริกซ์เชิงเส้น .....	14
2.6 บทสรุป .....	15
<b>3 แบบจำลองการควบคุมกำลังการผลิตและความถี่ .....</b>	<b>16</b>
3.1 บทนำ .....	16

3.2	แบบจำลองทางคณิตศาสตร์ .....	16
3.3	การวิเคราะห์ความไม่แน่นอนเชิงพารามิเตอร์ในการควบคุมกำลังการผลิตและความถี่ .....	19
3.4	ผลการวิเคราะห์ความไม่แน่นอน .....	21
3.4.1	กรณีแปรค่าคงตัวทางเวลาของเทอร์บิน์ .....	21
3.4.2	กรณีแปรค่าสัมประสิทธิ์ชิงโครอเน็ชทอร์ก .....	22
3.4.3	กรณีแปรค่าคงตัวทางเวลาของเทอร์บิน์ในพื้นที่ และค่าสัมประสิทธิ์ชิงโครอเน็ชทอร์ก	25
3.5	สรุป .....	25
4	การวิเคราะห์สมรรถนะ $H_2$ คงทัน .....	26
4.1	บทนำ .....	26
4.2	กำหนดปัญหา .....	26
4.3	การแปลงวงรอบ .....	27
4.4	ฟังก์ชันเลี้ยงปูโนฟ .....	28
4.5	เงื่อนไขสมรรถนะ $H_2$ คงทัน .....	29
4.6	วิเคราะห์ผล .....	30
4.7	สรุป .....	31
5	การสังเคราะห์ตัวควบคุม $H_2$ คงทัน .....	32
5.1	บทนำ .....	32
5.2	กำหนดปัญหา .....	32
5.3	ขั้นตอนการออกแบบ .....	35
5.3.1	การหาค่าเหมาะสมที่สุดของตัวคูณไปปอพ .....	35
5.3.2	การหาค่าเหมาะสมที่สุดของตัวควบคุม .....	36
5.3.3	วิธีข้อมูลปีและขั้นตอนการออกแบบ .....	38
5.4	วิเคราะห์ผล .....	41
5.5	สรุป .....	41
6	การสังเคราะห์ตัวควบคุมสำหรับการควบคุมกำลังการผลิตและความถี่ .....	42
6.1	บทนำ .....	42
6.2	ผลการออกแบบตัวควบคุม .....	42
6.2.1	กรณีแปรค่าคงตัวทางเวลาของเทอร์บิน์ .....	42
6.2.2	กรณีแปรค่าคงตัวทางเวลาของเทอร์บิน์และค่าสัมประสิทธิ์ชิงโครอเน็ชทอร์ก .....	46
6.3	ผลตอบสนองทางเวลาเมื่อมีการเปลี่ยนแปลงความต้องการกำลังไฟฟ้า .....	48
6.3.1	กรณีแปรค่าคงตัวทางเวลาของเทอร์บิน์ .....	49
6.3.2	กรณีแปรค่าคงตัวทางเวลาของเทอร์บิน์และค่าสัมประสิทธิ์ชิงโครอเน็ชทอร์ก .....	53
6.4	สรุป .....	57

7 บทสรุปและข้อเสนอแนะ .....	58
7.1 บทสรุป .....	58
7.2 ข้อเสนอแนะ .....	59
รายการอ้างอิง .....	60
ภาคผนวก .....	62
ก แบบจำลองระบบควบคุมกำลังการผลิตและความถี่ .....	63
ข ชุดคำสั่งในการคำนวณ .....	65
ข.1 การวิเคราะห์ความไม่แน่นอนเชิงพารามิเตอร์ค่าจริง .....	65
ข.2 การวิเคราะห์สมรรถนะ $H_2$ คงทัน .....	68
ข.3 การสังเคราะห์ตัวควบคุม $H_2$ คงทัน .....	70
ประวัติผู้เขียนวิทยานิพนธ์ .....	78

# ศูนย์วิทยทรัพยากร จุฬาลงกรณ์มหาวิทยาลัย

## สารบัญตาราง

3.1 ค่าพารามิเตอร์ในการควบคุมกำลังผลิตและความถี่ 2 พื้นที่ .....	21
6.1 ผลการออกแบบตัวควบคุมสำหรับระบบที่มีการแปรค่าคงตัวทางเวลาของเทอร์ไบన์ .....	43
6.2 ผลการออกแบบตัวควบคุมสำหรับระบบที่มีการแปรค่าคงตัวทางเวลาของเทอร์ไบน์และค่าซึ่ง โครงไนซ์ทอร์ก .....	47

ศูนย์วิทยทรัพยากร  
จุฬาลงกรณ์มหาวิทยาลัย

## สารบัญภาพ

1.1	แผนภาพเส้นแสดงการควบคุมกำลังการผลิตและความถี่ 2 พื้นที่ . . . . .	1
1.2	ระบบจูเร . . . . .	3
1.3	พังก์ชันไม่เชิงเส้น . . . . .	4
2.1	โครงสร้างระบบสำหรับนิยามนอร์มของเมทริกซ์ . . . . .	9
3.1	ระบบควบคุมความเร็วของเครื่องกำเนิดไฟฟ้า . . . . .	16
3.2	แผนภาพเส้นแสดงการควบคุมกำลังการผลิตและความถี่ 2 พื้นที่ . . . . .	17
3.3	แผนภาพบล็อกการควบคุมกำลังการผลิตและความถี่ 2 พื้นที่ . . . . .	18
3.4	เส้นโค้งแสดงความสัมพันธ์ระหว่างกำลังไฟฟ้าและผลต่างมุนของโรเตอร์ . . . . .	23
4.1	แผนภาพบล็อกสำหรับปัญหาวิเคราะห์สมรรถนะ $H_2$ คงทัน . . . . .	26
4.2	พื้นที่ในส่วนแรกที่สมมูลกับอินทิกรัล . . . . .	29
5.1	แผนภาพบล็อกสำหรับปัญหาสังเคราะห์ $H_2$ คงทัน . . . . .	33
6.1	ค่าสมรรถนะ $H_2$ กรณีเลวรุดสำหรับทุกการวนรอบสำหรับระบบที่มี $T_{T1}$ เปลี่ยนแปลง . . . . .	44
6.2	เปรียบเทียบค่านอร์ม $H_2$ ของตัวควบคุม LQG และ ตัวควบคุม PCS 100% สำหรับการควบคุมกำลังการผลิตและความถี่เมื่อระบบมีค่า $T_{T1}$ เปลี่ยนแปลง . . . . .	45
6.3	ค่าสมรรถนะ $H_2$ กรณีเลวรุดสำหรับทุกการวนรอบของระบบที่มี $T_{T1}$ และ $T_{12}$ เปลี่ยนแปลง . . . . .	47
6.4	เปรียบเทียบค่านอร์ม $H_2$ ของตัวควบคุม LQG และ ตัวควบคุม PCS 100% สำหรับการควบคุมกำลังการผลิตและความถี่เมื่อระบบมีค่า $T_{T1}$ และ $T_{12}$ เปลี่ยนแปลง . . . . .	48
6.5	ผลตอบสนองทางเวลาเมื่อ $1/T_{T1} = 3.125$ เป็นค่าที่สภาวะระบุ (เส้นทึบเป็นผลตอบที่ได้จากตัวควบคุม LQG และ เส้นประเป็นผลตอบที่ได้จากตัวควบคุม PCS 100%) . . . . .	50
6.6	ผลตอบสนองทางเวลาเมื่อ $1/T_{T1} = 1.250$ เป็นค่าที่ขอบล่าง (เส้นทึบเป็นผลตอบที่ได้จากตัวควบคุม LQG และ เส้นประเป็นผลตอบที่ได้จากตัวควบคุม PCS 100%) . . . . .	51
6.7	ผลตอบสนองทางเวลาเมื่อ $1/T_{T1} = 5$ เป็นค่าที่ขอบบน (เส้นทึบเป็นผลตอบที่ได้จากตัวควบคุม LQG และ เส้นประเป็นผลตอบที่ได้จากตัวควบคุม PCS 100%) . . . . .	52
6.8	ผลตอบสนองทางเวลาของระบบเมื่อ $1/T_{T1} = 3.125$ และ $T_{12} = 3.223$ เป็นค่าที่สภาวะระบุ (เส้นทึบเป็นผลตอบที่ได้จากตัวควบคุม LQG และ เส้นประเป็นผลตอบที่ได้จากตัวควบคุม PCS 100%) . . . . .	54

6.9 ผลตอบสนองทางเวลาของระบบเมื่อ $1/T_{T1} = 1.250$ และ $T_{12} = 1.223$ เป็นค่าที่ขอบล่าง (เส้นทึบเป็นผลตอบที่ได้จากตัวควบคุม LQG และ เส้นประเป็นผลตอบที่ได้จากตัวควบคุม PCS 100%) .....	55
6.10 ผลตอบสนองทางเวลาของระบบเมื่อ $1/T_{T1} = 5$ และ $T_{12} = 5.224$ เป็นค่าที่ขอบบน (เมื่อเส้นทึบเป็นผลตอบที่ได้จากตัวควบคุม LQG และ เส้นประเป็นผลตอบที่ได้จากตัวควบคุม PCS 100%) .....	56
ก.1 แผนภาพบล็อกการควบคุมกำลังการผลิตและความถี่ 1 พื้นที่.....	63
ก.2 แผนภาพบล็อกการควบคุมกำลังการผลิตและความถี่ 2 พื้นที่เมื่อมีการควบคุมเบื้องต้น ...	64

# ศูนย์วิทยทรัพยากร จุฬาลงกรณ์มหาวิทยาลัย

## คำอธิบายสัญลักษณ์

$\mathbf{R}$	เซตของจำนวนจริง
$\mathbf{R}^m$	เซตของเวกเตอร์ค่าจริงมิติ $m$
$\mathbf{R}^{m \times n}$	เซตของปริภูมิเวกเตอร์ค่าจริงมิติ $m \times n$
$I_m$	เมทริกซ์เอกลักษณ์มิติ $m \times m$ ซึ่งจะละสัญลักษณ์ $m$ ไว้ ในการนี้ดังกล่าวสามารถทราบมิติของเมทริกซ์เอกลักษณ์ได้จากเมทริกซ์ที่มีขนาดสัมพันธ์กัน
$X^T$	เมทริกซ์สับเปลี่ยนของเมทริกซ์ $X \in \mathbf{R}^{m \times n}$
$X^{-1}$	ตัวผกผันของ $X \in \mathbf{R}^{m \times n}$ นั่นคือ $XX^{-1} = I$
$\text{diag}(X_1, \dots, X_N)$	เมทริกซ์ที่แยกมุมแบบล็อกที่มีเมทริกซ์ในแนวยาวเป็น $X_1, \dots, X_N$ นั่นคือ

$$\begin{bmatrix} X_1 & 0 & \cdots & 0 \\ 0 & X_2 & \ddots & \vdots \\ \vdots & \ddots & \ddots & 0 \\ 0 & \cdots & 0 & X_N \end{bmatrix}$$

$\text{Tr } X$	รอยเมทริกซ์ (ผลรวมในแนวยาวมุ่ง) ของเมทริกซ์ $X \in \mathbf{R}^{m \times n}$
$X_{\perp}$	ส่วนเติมเต็มเชิงตั้งฉากของ $X$ นั่นคือ $X^T X_{\perp} = 0$ และ $[X \ X_{\perp}]$ มีค่าลำดับชั้นเต็ม
$X > 0$ ( $X \geq 0$ )	เมทริกซ์สมมาตร $X$ เป็นเมทริกซ์บวกแน่นอน (กึ่งบวกแน่นอน) นั่นคือ $X = X^T$ และ $z^T X z > 0$ ( $z^T X z \geq 0$ ) สำหรับทุกค่า $z \in \mathbf{R}^n$ ที่ไม่เท่ากับศูนย์
$X > Y$ ( $X \geq Y$ )	เมทริกซ์สมมาตร $X$ และ $Y$ ที่สอดคล้องกับ $X - Y > 0$ ( $X - Y \geq 0$ )
$\mathbf{E}(x)$	ค่าคาดหมายของตัวแปรสุ่ม $x$
$\ \cdot\ _2$	นอร์ม $L_2$ ของสัญญาณ

**ศูนย์วิทยทรัพยากร  
จุฬาลงกรณ์มหาวิทยาลัย**